

# MRI在颅内生殖细胞瘤诊断中的作用

邱士军<sup>1</sup>张雪林<sup>1</sup>袁仁民<sup>2</sup>第一军医大学南方医院影像中心<sup>1</sup>广东 广州 510515

**摘要** 目的 探讨 MRI 对颅内生殖细胞瘤的诊断价值。方法 对 19 例经手术和病理证实的颅内生殖细胞瘤患者的 MR 表现进行分析。结果 19 例中 10 例位于鞍区，其中男性 5 例，女性 5 例；9 例位于松果体区，1 例位于丘脑基底节区，均男性。其 MR 表现为 T<sub>1</sub>WI 等或稍低信号，T<sub>2</sub>WI 等或稍高信号；鞍区和松果体区肿瘤无水肿，丘脑基底节区肿瘤轻至中度水肿和占位效应。Gd-DTPA 增强扫描肿瘤呈不均匀或均匀明显强化。结论 MRI 的多轴位成像及 Gd-DTPA 应用有助于颅内生殖细胞瘤的诊断与鉴别诊断。病人性别、发病年龄和肿瘤部位等大小、形态及信号强度具有一定特点，在多数情况下是可以做出术前诊断的。

**关键词** 颅内生殖细胞瘤；磁共振成像；松果体瘤

中图分类号 R739.41 文献标识码 A 文章编号 1000-2588(2002)08-0739-03

## Role of magnetic resonance imaging in the diagnosis of intracranial germinoma

QIU Shi-jun,<sup>1</sup>ZHANG Xue-lin,<sup>1</sup>CHANG Ren-min<sup>2</sup>

Center of Imaging Diagnosis, Nanfang Hospital, First Military Medical University, Guangzhou 510515, China

**Abstract:** Objective To investigate the value of magnetic resonance imaging (MRI) in the diagnosis of intracranial germinoma. Methods A retrospective analysis of the MRI features was conducted in 19 cases of pathologically confirmed intracranial germinoma. Results The lesion was located in the sellar region in 10 cases, in the pineal region in 6 and in the thalamus and basal ganglia in 3. The characteristic MRI of intracranial germinoma included the following features: (1) In T<sub>1</sub>-weighted images (T<sub>1</sub>WI), the lesions were iso-intense or slightly hypointense, which appeared iso-intense or slightly hyperintense in T<sub>2</sub>-weighted images (T<sub>2</sub>WI). The germinoma in the sellar region and pineal regions showed no edema, but those in the thalamus and basal ganglia showed minimal or moderate edema with space-occupying effect. (2) Homogeneous or inhomogeneous Gd-DTPA enhancement was observed in most of the tumors. Conclusion Multiplanar imaging and Gd-DTPA enhancement in MRI are helpful in the diagnosis and differential diagnosis of intracranial germinoma, which presents features characteristic of the gender and age of the patients with the disease, location, size, form and image intensity of the lesion, and therefore, preoperative MRI diagnosis of the tumor can be possible.

**Key words:** germinoma; magnetic resonance imaging; pinealoma

颅内生殖细胞瘤是一种少见的肿瘤，占颅内肿瘤的 1% 以下。好发于儿童和青少年，发病率和老年人罕见。主要发生在松果体区及鞍区，发生于丘脑基底节区较少。<sup>1</sup> 本文回顾性分析我院 19 例 MR 扫描并经手术病理证实的颅内生殖细胞瘤患者，报告如下。

## 1 材料与方法

### 1.1 研究对象

19 例中男 14 例，女 5 例。年龄 6~39 岁，平均 18.2 岁。

### 1.2 MRI 检查

MRI 检查采用 Siemens 公司 Vision Plus 1.5T 高场超导型磁共振扫描仪，E 序列及 FSE 脉冲序列。行 T<sub>1</sub>WI 和 T<sub>2</sub>WI 扫描，常规矢状、冠状、轴位扫描。全部病例均做了 Gd-DTPA 增强扫描。静脉注射对比剂 Gd-DTPA 0.2ml/kg，b.w.。成像参数：T<sub>1</sub> 加权像为院 R

收稿日期 2002-02-24

作者简介 邱士军，男，山东齐河人，1998 年毕业于第一军医大学，硕士，主治医师。电话：020-61642086；E-mail：qsj@fimmu.edu.cn

(重复时间) = 552ms, TE = 波间隔 = 12ms, T<sub>2</sub> 加权像为院 R = 5 000ms, TE = 128 ms，层厚 5~8mm，层间距 0.2mm，矩阵 184×256。

## 2 结果

### 2.1 病变部位

具体见表 1。

表 1 颅内生殖细胞瘤分布统计表

Tab.1 Distribution of intracranial germinoma

Region(cases)	Gender		Age(years)			Size(cm)		
	Male	Female	Min.	Max.	Average	Min.	Max.	Average
Sellar(10)	5	5	6	39	16.9	2.5	5.0	3.41
Pineal(6)	6	0	12	29	20	1.1	5.1	2.74
Thalamus and basal ganglia (3)	3	0	10	34	22	3.6	5.8	4.88

### 2.2 主要临床表现

鞍区肿瘤以视觉障碍最多，见 10 例，表现为失明或视力下降；眼球活动受限等。其次为尿崩症，10 例；及颅内压升高表现，10 例。后者表现为头痛、恶心、呕吐。

吐等。松果体区肿瘤以颅内压升高症状为主，<sup>6/6</sup>主要是由于松果体区肿瘤阻塞中脑导水管所致。<sup>袁</sup>其次为视觉障碍。<sup>6/6</sup>丘脑基底节区 3 例有 2 例出现颅内压升高。<sup>袁</sup>例出现偏瘫、偏盲和偏身感觉障碍的三偏症状。<sup>2.3 MR 表现</sup>

鞍区 10 例。<sup>袁</sup>例位于三脑室前下部。<sup>袁</sup>形态多样。<sup>袁</sup>均为不规则性。<sup>袁</sup>边界清楚。<sup>T<sub>1</sub>WI</sup>有 3 例与灰质信号相似。<sup>袁</sup>例略低于灰质。<sup>袁</sup>其余 3 例低于灰质。<sup>T<sub>2</sub>WI</sup>有 1 例与灰质信号相似。<sup>袁</sup>其余 9 例均表现为高信号。<sup>袁</sup>增强扫描明显均匀强化。<sup>袁</sup>有 8 例不均匀中等强化。<sup>袁</sup>有 2 例其内可见小点状囊变区。<sup>袁</sup>有病例均未见明确出血及瘤周水肿。<sup>图 1</sup><sup>袁</sup>术前有 1 例因肿瘤囊变区较大而误诊为颅咽管瘤。

松果体区 6 例。<sup>袁</sup>肿瘤形态为不规则形。<sup>袁</sup>呈分叶状。<sup>袁</sup>其中 3 例边缘光滑。<sup>袁</sup><sup>T<sub>1</sub>WI</sup>肿瘤为等或略低信号。<sup>袁</sup><sup>T<sub>2</sub>WI</sup>为高信号。<sup>袁</sup>增强扫描 5 例明显均匀强化。<sup>袁</sup>例呈不均匀性强化。<sup>袁</sup>有 3 例可见小灶性坏死囊变区。<sup>袁</sup>所有病例均未见出血及瘤周水肿。<sup>袁</sup>6 例均有脑干积水和中脑导水管受压征。<sup>袁</sup>例鞍区同时发生肿瘤。<sup>袁</sup>例有双侧室管膜下种植转移。<sup>图 2</sup><sup>袁</sup>2 例合并有胸蛛网膜下腔种植转移。<sup>袁</sup>

丘脑基底节区 3 例。<sup>袁</sup>例起源于左侧。<sup>袁</sup>例起源于右侧。<sup>T<sub>1</sub>WI</sup>肿瘤为低信号。<sup>袁</sup>度混杂信号。<sup>T<sub>2</sub>WI</sup>肿瘤为非均匀性高信号。<sup>袁</sup>边缘模糊。<sup>袁</sup>瘤周见轻度狭窄水肿。<sup>袁</sup>2 例中度水肿。<sup>袁</sup>区 1 例。<sup>袁</sup>增强扫描均表现为不均匀性斑片状强化。<sup>图 3</sup><sup>袁</sup>

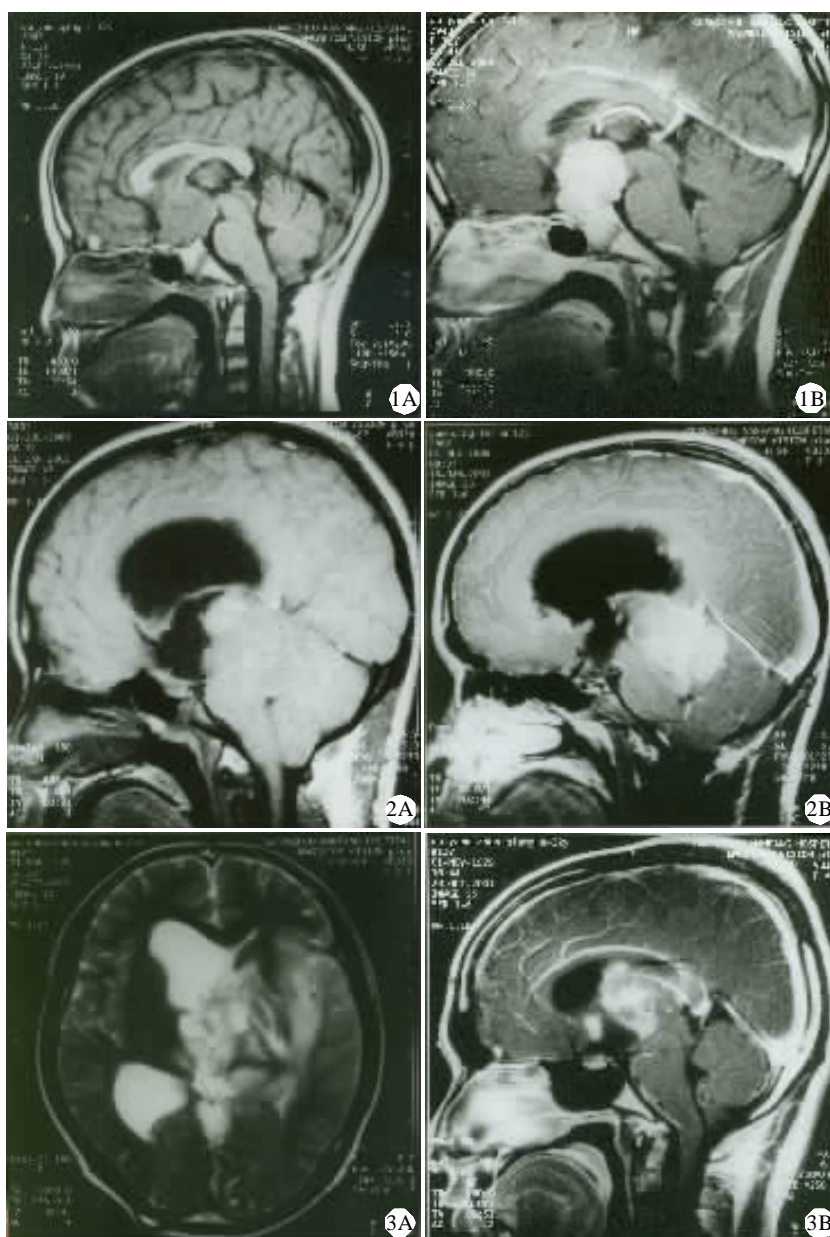


图 1 鞍区生殖细胞瘤。<sup>袁</sup>2 岁女童

Fig.1 Germinoma in sellar region

(Female,12yearsold)

A:On T<sub>1</sub>-weighted sagittal image, the tumor is irregular without edema; B: On Gd-DTPA-enhanced T<sub>1</sub>-weighted sagittal image, the tumors are strongly enhanced

图 2 松果体区生殖细胞瘤。<sup>袁</sup>男，12岁

Fig.2 Germinoma in the pineal region

(Male,12yearsold)

A: On T<sub>1</sub>-weighted sagittal image, the lesion is isointense. The aqueduct of midbrain and brain stem is compressed and dislocated; B: On Gd-DTPA-enhanced T<sub>1</sub>-weighted sagittal image, the tumors are strongly enhanced. The metastatic lesion are seen in the wall of lateral ventricle of the brain

图 3 左侧丘脑基底节区生殖细胞瘤。<sup>袁</sup>男，22岁

Fig.3 Germinoma in the left thalamus and basal ganglia (Male,22yearsold)

A: T<sub>2</sub>-weighted axial image demonstrates a heterogeneously high intensity tumor with edema and mass effect; B: On Gd-DTPA-enhanced T<sub>1</sub>-weighted sagittal image, the tumor is enhanced heterogeneously. The metastatic nodular lesion is seen in the sellar region and wall of lateral ventricle of the brain

### 3 讨论

#### 3.1 发生与病理

Krabbe(1923)和 Glous(1931)曾把生殖细胞瘤的大上皮细胞和小淋巴样细胞镶嵌排列的组织像<sup>袁</sup>拟

为松果体胚胎发育期的组织像，并把该瘤错误地命名为松果体瘤。袁后来发现这种想象仅为表面的想象，袁小细胞即为免疫反应的淋巴细胞和浆细胞，袁不是未发育的胚胎性松果体母细胞。袁现在公认，在生殖腺男性为精原细胞瘤，女性为无性细胞瘤。袁在生殖腺外，袁为生殖细胞瘤。袁颅内松果体区和鞍上区也为生殖细胞瘤。袁倾向于中线部位，袁原始全潜能生殖细胞为上述各部位肿瘤的同源细胞。袁公果体区的生殖细胞瘤是最常见的生殖细胞瘤，袁占松果体区肿瘤的50%以上。袁曾把发生在松果体区的生殖细胞瘤称为松果体瘤。袁以外部位者称为异位松果体瘤。袁近年来研究，袁发现这类肿瘤由生殖细胞组成。袁组织学与组织化学证实，袁与精原细胞相似。袁以目前的松果体瘤已被生殖细胞瘤所取代。袁迄今为止，袁已经发现与生殖细胞瘤有关的肿瘤标记物有胎盘碱性磷酸酶、LAP、血管紧张素I转换酶、黑色素等。

颅内生殖细胞瘤是一种少见的肿瘤，袁占颅内肿瘤的0.1%~2.1%。袁任何年龄均可发生，袁但主要发生在小儿和青年人，袁10~25岁最多见。袁幼儿和老年人罕见。袁本组病例小于10岁的有1例，袁0~20岁的11例，袁24~30岁的5例。袁大于30岁的仅2例。袁国内外报导的资料相似。袁一般统计表明，生殖细胞瘤突出地发生在男性，袁也有认为鞍上区的肿瘤男女无明显差别。袁本组资料，男性14例，袁女性仅为5例。袁这5例全部发生在鞍区，袁与文献报道相一致。

### 3.2 MRI在诊断生殖细胞瘤中的价值

MRI对软组织具有良好的分辨率，袁尤其对鞍区、袁脑干及肿瘤侵犯邻近结构及其范围显示十分清楚。袁骨骼伪影干扰，袁垂体柄的增粗，袁鞍位及垂体后叶信号的改变都可以清晰地显示出来。袁平扫T<sub>1</sub>WI，多数肿瘤为均匀等信号或略低信号，袁信号不均者，袁肿瘤内囊变、坏死等有关。袁<sub>2</sub>WI，多数肿瘤为高信号。袁鞍区肿瘤可清晰显示瘤体与视神经交叉的关系。袁d-DTPA增强扫描，多数肿瘤均匀明显强化，袁少数为不均匀强化。袁MRI在显示生殖细胞瘤的并存及种植性转移方面优于CT。袁生殖细胞瘤具有多发性的特点，袁尤其多见鞍区与松果体区并存。袁本组有1例，袁占5.3%。袁颅内生殖细胞瘤有沿脑脊液流动发生种植性转移的倾向。袁本组松果体区病例有2例发生了种植转移，袁占10.53%。

总之，袁实质性生殖细胞瘤，袁不论位于松果体区或鞍上部，袁其影像学所见均相似，袁一般均呈结节或团块状，袁信号较均匀，袁边缘光滑。袁若有下述特点，则有利于生殖细胞瘤的诊断：袁宽松果体区及鞍区同时发现肿瘤病灶，袁主要是生殖细胞瘤。袁MRI扫描显示松果体区有占位病变，袁明显强化，袁同时室管膜不规则增厚，袁则考虑生殖细胞瘤可能性大。

### 3.3 鉴别诊断

典型的生殖细胞瘤的诊断主要根据其生长部位，袁

肿瘤的信号特点及其邻近结构的形态改变和随脑脊液在蛛网膜下腔或脑室内种植转移的特点。袁临床诊断时需按肿瘤部位分别与以下病变鉴别。袁鉴别困难时可行试验性放射治疗。  
 袁鞍区肿瘤：袁蝶鞍扩大，袁垂体消失；袁颅咽管瘤，袁其囊变率较高而且范围较大，袁常伴有片状或壳状钙化；袁结节脑膜瘤，袁肿瘤与颅底骨结构关系密切，袁常伴骨质增生，袁有假包膜和供血瘤床；袁视神经胶质瘤，袁肿瘤发生于视神经呈浸润生长，袁肿瘤占位效应明显，袁周多有水肿带；袁动脉瘤，袁鞍上动脉瘤起源于Willis环或颈内动脉虹吸部，袁多为类圆形或浆果样，袁可见流空现象，袁若有附壁血栓形成，袁在T<sub>1</sub>WI和T<sub>2</sub>WI均为高信号，袁易于生殖细胞瘤鉴别。  
 袁松果体区肿瘤：袁来源于胼胝体压部或四叠体板，袁呈浸润性生长，袁MRI显示信号不均匀，袁周围多有水肿带；袁生殖细胞瘤除囊变外，袁一般均为均匀信号，袁无水肿带；袁脑膜瘤，袁由天幕发展而来，袁边界光滑，袁均匀，袁无浸润；袁MRI冠状面和矢状面均可帮助明确肿瘤来源；袁畸胎瘤，袁多数有囊变，袁含有三个胚层成分，袁信号最不均匀，袁脂肪在T<sub>1</sub>WI和T<sub>2</sub>WI均表现为高信号；袁丘脑基底节区肿瘤：袁胶质瘤，袁肿瘤瘤体T<sub>1</sub>亮，T<sub>2</sub>弛豫时间较生殖细胞瘤长；袁病变为占位效应和周围水肿更为显著；袁原发性恶性淋巴瘤，袁免疫功能低下的患者多见，袁长T<sub>1</sub>长T<sub>2</sub>，袁不均匀信号，袁病灶周围水肿显著和范围广泛。

### 参考文献院

- 袁暂 黄文清. 神经肿瘤病理学[M]. 第2版. 北京: 军事医学科学出版社, 2001.631-6.
- 袁暂 Takakura K. Intracranial germ cell tumors [J]. Clin NeuroSurg, 1985, 32(2):429-44.
- 袁暂 沈天真, 陈星荣. 中枢神经系统计算机层摄影和磁共振成像[M]. 上海医科大学出版社, 1991.217-9.
- 袁暂 Fujimaki T, Matsutani M, Funada N, et al. CT and MRI features of intracranial germ cell tumors [J]. Neurooncol, 1994, 19(3):217-26.
- 袁暂 Moon WK, Chang KH, Han MH, et al. Intracranial germinomas: correlation of imaging finding with tumor response to radiation therapy [J]. Am J Roentgenol, 1999, 172(3):713-6.
- 袁暂 Ochiai H, Yamakawa Y, Fukushima T, et al. Delayed resolution of intracranial germinoma after radiotherapy: a preliminary study of the correlation between histology and magnetic resonance imaging [J]. Neuropathology, 2000, 20(3):190-6.
- 袁暂 Suzuki K, Sonobe M, Matsutani M, et al. Suprasellar cystic germinoma [J]. Childs Nerv Syst, 1999, 15(2):134-6.
- 袁暂 Kilgore DP, Strother CM, Starshak RJ, et al. Pineal germinoma: MR imaging [J]. Radiology, 1986, 158(2):435-8.
- 袁暂 林燕, 高培毅. 小儿基底节及丘脑肿瘤的MRI诊断[J]. 中华放射学杂志, 1999, 33(8):515-9.
- 袁 Lin Y, Gao PY. MR imaging study of tumors originating in the basal ganglia and thalamus in children [J]. Chin J Radiol, 1999, 33(8):515-9.
- 袁0暂 Kim DJ, Yoon PH, Ryu YH, et al. MRI of germinomas arising from the basal ganglia and thalamus [J]. Neuroradiology, 1998, 40(8):507-11.